

УДК 535.5: 537.226: 546.882

PACS: 42.65.Ky, 61.10.Nz, 61.66.Fn, 64.70.Kb, 65.70.+y, 78.20.Fm

## Поглинання та люмінесценція $Tl_4HgI_6$ , $Tl_4CdI_6$ і $Tl_4PbI_6$ кристалів

В.А. Франів, О.В.Бовгира, О.С. Кушнір, А.В. Франів, О.В.Футей

факультет електроніки

Львівський національний університет імені Івана Франка

79017 м. Львів, вул. Тарнавського, 107,

[franiv\\_v@meta.ua](mailto:franiv_v@meta.ua)

В роботі досліджено спектри поглинання кристалів  $Tl_4CdI_6$ ,  $Tl_4HgI_6$  та  $Tl_4PbI_6$  у світлі поляризованому вздовж напрямків  $E \parallel C_4$  і  $E \perp C_4$ . Встановлено анізотропний характер цих спектрів. Визначено ширини заборонених зон і величини анізотропного розщеплення положення краю поглинання. На основі отриманих експериментальних результатів встановлено, що  $Eg(\parallel C4) < Eg(\perp C4)$  і відповідно, по  $>$  не для кристала  $Tl_4CdI_6$ , а в кристалах  $Tl_4HgI_6$  реалізується протилежний випадок:  $Eg(\parallel C4) > Eg(\perp C4)$  і по  $<$  не. За низькотемпературними спектрами фотolumінесценції (ФЛ) визначено положення максимумів смуг, напівширина та часи релаксації. Виходячи з ідентичності спектрів ФЛ запропоновано єдиний механізм рекомбінаційних переходів в досліджуваних кристалах.

**Ключові слова:** фотолюмінесценція, ширина забороненої зони, край фундаментального поглинання.

В работе исследованы спектры поглощения кристаллов  $Tl_4CdI_6$ ,  $Tl_4HgI_6$  и  $Tl_4PbI_6$  в поляризованом свете вдоль направлений  $E \parallel C_4$  и  $E \perp C_4$ . Обнаружено анизотропный характер поляризованных спектров поглощения. Определено щирины запрещенных зон и величины анизотропного расщепления фундаментального края поглощения. На основании полученных экспериментальных результатов показано, что  $Eg(\parallel C4) < Eg(\perp C4)$  и соответственно, по  $>$  не для кристалла  $Tl_4CdI_6$ , а в кристаллах  $Tl_4HgI_6$  реализуется противоположный случай:  $Eg(\parallel C4) > Eg(\perp C4)$ , а по  $<$  не. Из низкотемпературных ( $T=10K$ ) спектров фотолюминесценции (ФЛ) определены положения максимумов полос, полуширины и времена релаксации. Исходя из идентичности структуры спектров ФЛ предложен единий механизм рекомбинационных переходов в исследуемых кристалах.

**Ключевые слова:** фотолюминесценция, ширина запрещенной зоны, край фундаментального поглощения.

The spectrums of absorption of crystals of  $Tl_4CdI_6$ ,  $Tl_4HgI_6$  and  $Tl_4PbI_6$  are in-process investigational in the light polarized along directions of  $E \parallel C_4$  and  $E \perp C_4$ . Anisotropic character of these spectrums is set. Certainly width of the restricted areas and size of the anisotropic breaking up of position of edge of absorption. It is set on the basis of the obtained data, that  $E_g(\parallel C_4) < E_g(\perp C_4)$  and accordingly,  $n_o > n_e$  for the crystal of  $Tl_4CdI_6$ , and in the crystals of  $Tl_4HgI_6$  an opposite case will be realized:  $E_g(\parallel C_4) > E_g(\perp C_4)$  and  $n_o < n_e$ . After the low temperature spectrums of photoluminescence position of maximums of stripes, semiwidth and times of relaxation, is certain. Coming from the identity of spectrums of luminescent the only mechanism of the recombination passing is offered to the investigated crystals.

**Keywords:** photoluminescence, energy gap, fundamental edge absorption.

На сьогоднішній час у періодіці з'явилися повідомлення епізодичного характеру про можливість отримання ще одного класу кристалів групи  $A_4BX_6$  зокрема таких як  $Tl_4CdI_6$ ,  $Tl_4HgI_6$  та  $Tl_4PbI_6$  [1-5]. Передбачалось, що зі збереженням відносно високої компоненти іонного зв'язку очікуваною для таких матеріалів має бути сильна анізотропія структури. Очевидно, що отримання нових монокристалів ставить передочергову задачу дослідження їхніх базових фізико-хімічних характеристик: рентгено-структурних параметрів, залежність лінійного розширення від температури в області фазових переходів, визначення ширини забороненої зони, встановлення основних оптичних параметрів, дослідження люмінесцентних спектрів і їх інтерпритація.

### Оптичні спектри поглинання та люмінесценції

На спектральному комплексі СДЛ-1 в температурному діапазоні  $E=77-300K$ , в поляризованому світлі  $E \parallel C_4$  і  $E \perp C_4$ , досліджено спектри пропускання тонких (завтовшки  $d < 0,1mm$ ) зразків кристалів  $Tl_4CdI_6$  і  $Tl_4HgI_6$  в області фундаментального краю поглинання рис.1 та рис.2. Визначено ширини заборонених зон для двох взаємно перпендикулярних напрямків. Для  $Tl_4CdI_6$  { $Eg(\parallel C4)=2,73\text{ eB}$ ,  $Eg(\perp C4)=2,61\text{ eB}$ } і  $Tl_4HgI_6$  { $Eg(\parallel C4) = 2,082\text{ eB}$ ,  $Eg(\perp C4)=2,061\text{ eB}$ }.

Як видно з рис.1,2 край поглинання досліджуваних кристалів володіє сильною анізотропією вздовж напрямків паралельно і перпендикулярно до осі четвертого порядку ( $C_4$ ), описується експоненціальним характером залежності коефіцієнта пропускання від

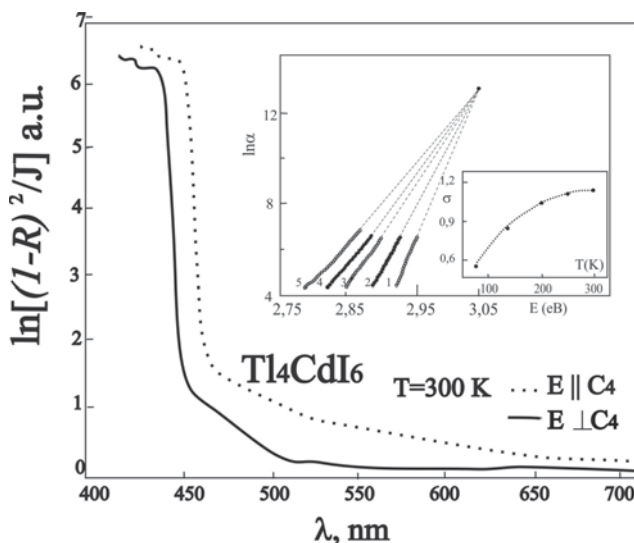


Рис.1. Спектри пропускання  $Tl_4CdI_6$  та температурна залежність фундаментального поглинання при  $T$ , К: 1 – 77, 2 – 100, 3 – 150, 4 – 200, 5 – 300. На вставках наведені температурні залежності параметра  $\sigma$ .

довжини хвилі, тобто край поглинання формується прями зона-зонними фотопереходами.

Дослідження спектрів люмінесценції та спектрів збудження люмінесценції, кристалів  $Tl_4HgI_6$ ,  $Tl_4CdI_6$  та  $Tl_4PbI_6$  були проведені при використанні обладнання станції SUPERLUMI лабораторії HASYLAB, (DESY, Гамбург)[6]. Температурний діапазон вимірювання (10 і 295 К) забезпечувався за допомогою геліевого кріостата. Спектри люмінесценції вимірювалися в діапазоні 300–1000 нм з розділенням 1 нм, використовуючи вторинний монохроматор-спектрограф ARC "Spectra Pro 308" з фокусною віддаллю 30 см, обладнаний CCD детектором та фотопомножувачем HAMAMATSU R6358P.

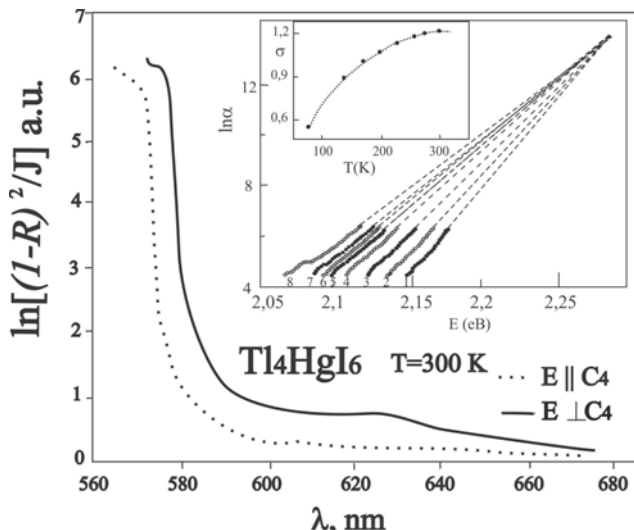


Рис.2. Спектри пропускання  $Tl_4HgI_6$  та температурна залежність фундаментального поглинання при  $T$ , К: 1 – 77, 2 – 100, 3 – 120, 4 – 150, 5 – 180, 6 – 220, 7 – 260, 8 – 300. На вставках наведені температурні залежності параметра  $\sigma$ .

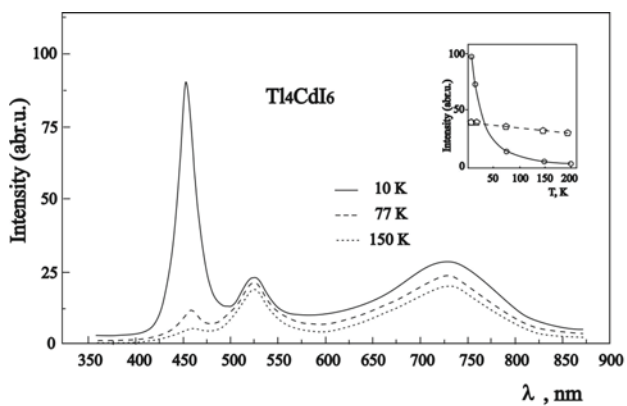


Рис. 3. Спектри фотолюмінесценції (ФЛ) кристалів  $Tl_4CdI_6$ .

Як видно з рис. 3 в спектрах люмінесценції  $Tl_4CdI_6$  спостерігаються три смуги з максимумами 454 нм (2,73 еВ), 545 нм (2,28 еВ), та 738 нм (1,76 еВ) та півшириною 25, 30 та 100 нм. Відповідні часи рекомбінації для цих смуг становлять 25нс, 70нс та понад 200нс. На вставці до рис.3 приведено температурні залежності інтегральних інтенсивностей смуг фотолюмінесценції кристала  $Tl_4CdI_6$ . Як видно температурне гасіння короткохвильової смуги описується експоненціальним спадом інтенсивності при зростанні температури, а інтенсивність більш довгохвильової смуги ФЛ квазілінійно залежить від Т К.

В спектрах ФЛ (рис.4) кристалів  $Tl_4HgI_6$  спостерігаються ідентичні, за структурою смуги люмінесценції. З тією різницею, що короткохвильова смуга ФЛ має явно виражений дублетний характер з максимумами 483 нм (2,57 еВ) і 520 нм (2,37 еВ) з

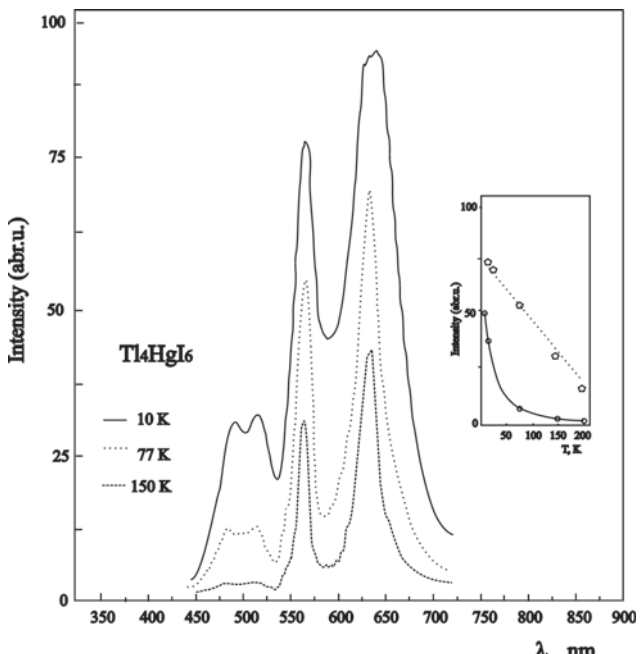


Рис. 4. Спектри фотолюмінесценції (ФЛ) кристалів  $Tl_4HgI_6$ .

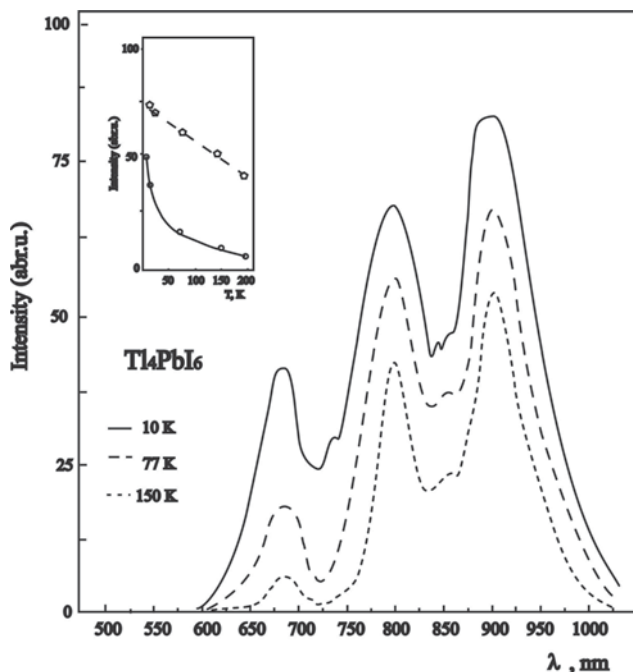


Рис. 5. Спектр фотолюмінесценції (ФЛ) кристалів  $\text{Tl}_4\text{PbI}_6$ .

однаковою інтенсивністтю і на півшириною  $\approx 35$  нм та часими релаксації  $\approx 20$  нс. З довгохвильової сторони спостерігаються дві смуги з максимумами 565 нм (2,19 еВ) і 685 нм (1,81 еВ), напівшириною 45, 70 нм та часими релаксації, що становлять 50 і 180 нс.

У кристалах  $\text{Tl}_4\text{PbI}_6$  (див. рис.5) на фоні загального контініуму випромінювання спостерігають теж три смуги з максимумами з довжинами хвиль 685 нм (1,82 еВ), 810 нм (1,53 еВ) і 920 нм (1,35 еВ). Для того, щоб визначити напівширини цих смуг необхідно розрахувати контури люмінесценції, що в принципі не є строгим і тому цих результатів ми не подаємо.

### Обговорення результатів та висновки

Температурні дослідження краю оптичного поглинання кристалів  $\text{Tl}_4\text{CdI}_6$ ,  $\text{Tl}_4\text{HgI}_6$  показали, що температурна поведінка експоненціальних ділянок описується емпіричним правилом Урбаха [7]

$$\alpha(hv, T) = \alpha_0 \cdot \exp \left[ \frac{\sigma(hv - E_0)}{kT} \right] = \\ = \alpha_0 \cdot \exp \left[ \frac{hv - E_0}{E_U(T)} \right], \quad (1)$$

де  $E_U$  – урбахівська енергія,  $\sigma_0$  – параметр крутизни краю поглинання,  $\alpha_0$  та  $E_0$  – координати точки збіжності урбахівського “віяла”.

За температурною залежністю параметра крутизни краю поглинання  $\sigma$  були визначені параметри екситон-фононної взаємодії (ЕФВ) за відомою формулою Мара [8]:

$$\sigma(T) = \sigma_0 \cdot \left( \frac{2kT}{\hbar\omega_p} \right) \cdot \operatorname{th} \left( \frac{\hbar\omega_p}{2kT} \right), \quad (2)$$

де  $\hbar\omega_p$  – енергія ефективного фонона в одноциліндровій моделі, що описує ЕФВ;  $\sigma_0$  – параметр, зв’язаний з постійною ЕФВ  $g$  співвідношенням  $\sigma_0 = 2/3g$ . Як видно з результатів приведених в таблиці 1 для обох кристалів значення  $\sigma_0 > 1$ , що свідчить про слабу ЕФВ [9].

Спектри фотолюмінесценції кристалів  $\text{Tl}_4\text{CdI}_6$ ,  $\text{Tl}_4\text{HgI}_6$

Параметри урбахівського краю поглинання і параметри кристалів  $\text{Tl}_4\text{CdI}_6$ ,  $\text{Tl}_4\text{HgI}_6$

Кристал	$\text{Tl}_4\text{HgI}_6$	$\text{Tl}_4\text{CdI}_6$
$E_g^*(300\text{K}), \text{eV}$	2,082 eV	2,73
$E_U(300\text{K}), \text{meV}$	23.7	22.7
$\alpha_0, \text{cm}^{-1}$	$4.3 \times 10^5$	$4 \times 10^5$
$E_0, \text{eV}$	2,29	2,99
$\sigma_0$	1.38	1.16
$\hbar\omega_p, \text{meV}$	21	33

$\text{Tl}_4\text{HgI}_6$  та  $\text{Tl}_4\text{PbI}_6$  досліджувалися при температурі 10 К, що показано на рис. 3-5. Як видно зі спектрів у всіх кристалах з довгохвильової сторони спостерігається широка смуга домішкового характеру яка відповідає рекомбінації типу “зона-домішковий центр”. Спектральне положення та температурна поведінка наступної смуги може бути обумовлена рекомбінацією з утворенням зв’язаного екситона (екситон-домішкового комплекса). Він являє собою екситон Ванье-Мотта, локалізований на домішці талію. Наявність надлишку атомів талію пов’язана з особливостями кристалічної структури та відмінностями технологічних умов одержання кристалів. Наступна смуга відповідає рекомбінації вільного або автолокалізованого екситона.

Високоенергетичну смугу, дублетного характеру, в кристалі  $\text{Tl}_4\text{HgI}_6$  можна віднести до міжзонних особливостей Ван Хова-Філіпса [10].

1. Досліджено спектри поглинання кристалів  $\text{Tl}_4\text{CdI}_6$ ,  $\text{Tl}_4\text{HgI}_6$  у світлі поляризованому вздовж напрямків  $E \parallel C_4$  і  $E \perp C_4$ . Встановлено анізотропний характер цих спектрів. Визначено ширини заборонених зон і величини анізотропного розщеплення положення краю поглинання. На основі отриманих експериментальних результатів розраховано параметри урбахівського краю та встановлено, що в кристалах

$Tl_4CdI_6$ ,  $Tl_4HgI_6$  реалізується слабка екситон - фононна взаємодія.

2. За низькотемпературними спектрами фотолюмінесценції кристалів  $Tl_4CdI_6$ ,  $Tl_4HgI_6$  та  $Tl_4PbI_6$  визначено положення максимумів смуг, напівширину та часи релаксації. Виходячи з ідентичності спектрів ФЛ запропоновано єдиний механізм рекомбінаційних переходів в досліджуваних кристалах.

Насамкінеч зауважимо, ці кристали можуть розглядатися, як модельні об'єкти температурних сенсорів, нелінійно-оптичних елементів та активних елементів твердотільних лазерів.

1. Avdienko K I, Badikov D V, Badikov V V, Chizhikov V I, Panyutin V L, Shevyrdyaeva G S, Shcherbakov S I and Shcherbakova E S., Optical properties of thallium mercury iodide. Opt. Mater. 2003. 23: 569–573.
2. Zandbergen H W, The crystal structure of  $\alpha$ -thallium hexaiodochromate,  $\alpha$ - $Tl_4CrI_6$ . Acta Cryst. 1979. B. 35: 2852–2855.
3. N.B.Sing,D.R.Suhre, K.Green, Dr.N. Fernelins, F.K. Hopcins. Ternary Malides; Novel NLO compounds for LWIR. Proc.of SPEI., vol.5912, 591203-1.
4. M. Piasecki • G. Lakshminarayana • A. O. Fedorchuk • O. S. Kushnir • V. A. Franiv • A. V. Franiv • G. Myronchuk • K. J. Plucinski Temperature operated infrared nonlinear optical materials based on  $Tl_4HgI_6$  J Mater Sci: Mater Electron (2013) 24:p.1187–1193.
5. Franiv A. V., Kushnir O. S., Girnyk I. S., Franiv V. A., Kityk I., Piasecki M. and Plucinski K. J. Growth, crystal structure, thermal properties and optical anisotropy of  $Tl_4CdI_6$  single crystals Ukr. J. Phys. Opt. 2013,14. p. 6-14.
6. Zimmerer G. // Radiation Measurements 2007. V. 42. № 4-5. P. 859.
7. Urbach F. The long-wavelength edge of photographic sensitivity and electronic absorption of solids / Urbach F. // Phys. Rev. – 1953. – Vol. 92. – P. 1324–1326.
8. Sumi H. The Urbach-Martienssen rule revisited / Sumi H., Sumi A. // J. Phys. Soc. Japan. – 1987. – Vol. 56, № 6. – P. 2211–2220.
9. Курик М.В. Экспериментальная оценка константы экситон-фононного взаимодействия / Курик М.В. // Физ. тверд. тела. – 1991. – Т. 33, № 2. – С. 615–618.
10. Уханов Ю.И. Оптические свойства полупроводников.-М.: Наука,1977.- 366с.